

Schienenverteiler-Systeme MR/MRf

Aluminium/Kupfer

Best.Nr.		Gerades Element MR
AL 4 Leiter	CU 4 Leiter	- MR: 3 Phasen + Null, PE = Gehäuse - Leitermaterial: Aluminium, verzinkt - Abzweigöffnungen an festen Positionen
		Gerades Element mit Abzweigöffnungen 3 + 3
		Abzweigöffnung: 3 + 3 Länge: 3000 mm Abzweigöffnungen beidseitig
		In (A)
50400101		160
50400102	55400102	250
50400103	55400103	315
50400104	55400104	400
50400108		500
50400105	55400105	630
50400106	55400106	800
50400107	55400107	1000
		Gerades Element mit Abzweigöffnungen 5 + 0
		Abzweigöffnung: 5 + 0 Länge: 3000 mm Abzweigöffnungen einseitig, geeignet für Wandmontage
50400251		160
50400252	55400252	250
50400253	55400253	315
50400254	55400254	400
50400258		500
50400255	55400255	630
50400256	55400256	800
50400257	55400257	1000
		Gerades Element ohne Abzweigöffnungen
		Ohne Abzweigöffnungen Länge: 3000 mm
50400241		160
50400242	55400242	250
50400243	55400243	315
50400244	55400244	400
50400248		500
50400245	55400245	630
50400246	55400246	800
50400247	55400247	1000

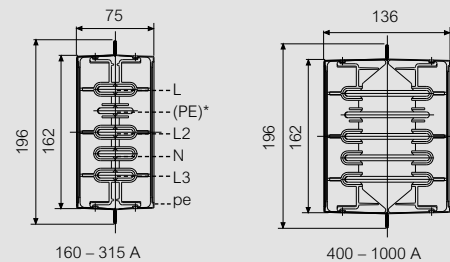
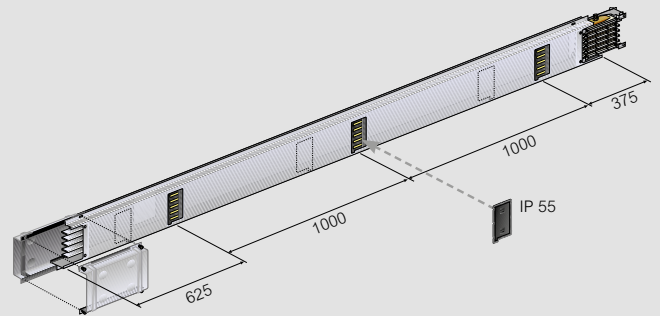
Gerades Element MRf/MR-P/MRf-P

- MRf: 3 Phasen + Null + PE
- MR-P: wie MR, Gehäuse lackiert
- MRf-P: wie MRf, Gehäuse lackiert

Tabelle Best.Nr.-Codierung

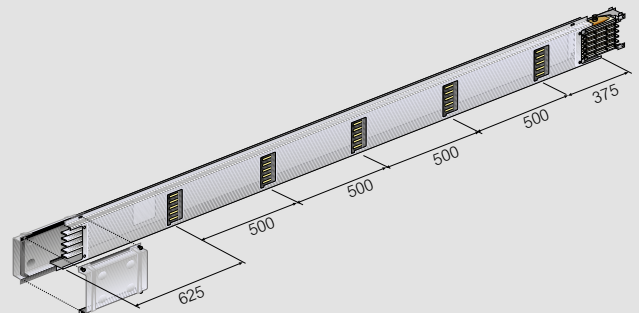
Leiter	Gehäuse	Best.Nr.-Code
MR  4	verzinkt	...0....
MRf  5	verzinkt	...1....
MR-P  4	lackiert	...2....
MRf-P  5	lackiert	...3....

Gerades Element mit Abzweigöffnungen 3 + 3

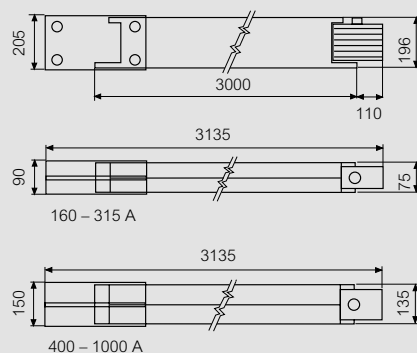
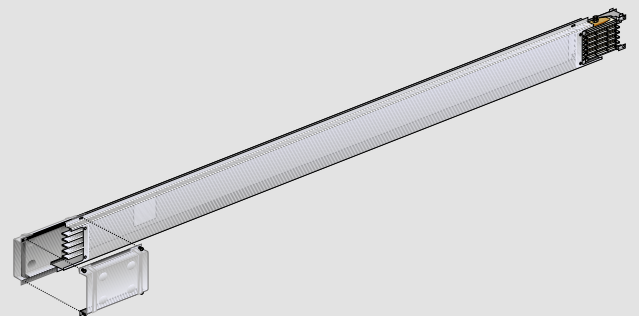


* nur für MRf

Gerades Element mit Abzweigöffnungen 5 + 0



Gerades Element ohne Abzweigöffnungen



Schienenverteiler-Systeme MR/MRf

Technische Informationen

MR Aluminium Schienenverteiler-Systeme

MR (3 L + N + PE)

Bemessungsstrom	I_n (A)	160	250	315	400	500	630	800	1000
Bemessungsbetriebsspannung	U_e (V)	1000	1000	1000	1000	1000	1000	1000	690
Bemessungsisolationsspannung	U_i (V)	1000	1000	1000	1000	1000	1000	1000	690
Netzfrequenz	f (Hz)	50/60	50/60	50/60	50/60	50/60	50/60	50/60	50/60
Bemessungskurzzeitstromfestigkeit (1 Sek.) (bei 3-Phasen-Kurzschluss)	I_{CW} (kA) _{rms}	15**	25**	25**	25	30	36	36	30
Max. thermische Belastung (bei 3-Phasen-Kurzschluss)	I^2t (A ² s x 10 ⁶)	23	63	63	625	900	1296	1296	900
Bemessungsstromfestigkeit (bei 3-Phasen-Kurzschluss)	I_{pk} (kA)	30	53	53	53	63	76	76	63
Bemessungskurzzeitstromfestigkeit (1 Sek.) (bei Kurzschluss Phase/N)	I_{CW} (kA) _{rms}	9**	15**	15**	15	18	22	22	18
Bemessungsstromfestigkeit (bei Kurzschluss Phase/N)	I_{pk} (kA)	15	30	30	30	36	45	45	36
Bemessungskurzzeitstromfestigkeit (1 Sek.) (bei Kurzschluss Phase/PE)	I_{CW} (kA) _{rms}	9**	15**	15**	15	18	22	22	18
Bemessungsstromfestigkeit (bei Kurzschluss Phase/PE)	I_{pk} (kA)	15	30	30	30	36	45	45	36
Phasenwiderstand bei 20 °C	R_{20} (mΩ/m)	0,492	0,328	0,197	0,120	0,077	0,060	0,052	0,037
Phasenwiderstand in warmem Zustand (I_n , bij 40 °C)	R_t (mΩ/m)	0,665	0,443	0,266	0,163	0,104	0,081	0,070	0,073
Blindwiderstand der Phasen (50 Hz)	X (mΩ/m)	0,260	0,202	0,186	0,130	0,110	0,097	0,096	0,076
Widerstand des Nullleiters bei 20 °C	R_{n20} (mΩ/m)	0,492	0,328	0,197	0,120	0,077	0,060	0,052	0,037
Blindwiderstand des Nullleiters (50 Hz)	X_n (mΩ/m)	0,260	0,202	0,186	0,130	0,110	0,097	0,096	0,076
Widerstand des Schutzleiters	R_{PE} (mΩ/m)	0,341	0,341	0,341	0,283	0,283	0,283	0,283	0,283
Blindwiderstand des Schutzleiters (50 Hz)	X_{PE} (mΩ/m)	0,220	0,220	0,220	0,180	0,180	0,180	0,180	0,180
Widerstand des Fehlerstromkreises Ph/PE	R_{Ph-Pe} fault loop (mΩ/m)	1,006	0,784	0,607	0,445	0,387	0,364	0,353	0,336
Blindwiderstand des Fehlerstromkreises Ph/PE (50 Hz)	X_{RPh-N} fault loop (mΩ/m)	0,480	0,414	0,396	0,333	0,333	0,283	0,275	0,273
Widerstand des Fehlerstromkreises Ph/N	R_{Ph-N} fault loop (mΩ/m)	1,157	0,771	0,463	0,283	0,181	0,141	0,121	0,093
Blindwiderstand des Fehlerstromkreises Ph/N (50 Hz)	X_{RPh-N} fault loop (mΩ/m)	0,480	0,422	0,406	0,310	0,290	0,277	0,276	0,186
	ΔV (V/m/A)10 ⁻³ cosφ = 0,70	0,564	0,394	0,276	0,179	0,131	0,109	0,102	0,090
	ΔV (V/m/A)10 ⁻³ cosφ = 0,75	0,581	0,404	0,279	0,180	0,130	0,108	0,100	0,088
	ΔV (V/m/A)10 ⁻³ cosφ = 0,80	0,596	0,412	0,281	0,180	0,129	0,107	0,098	0,085
Spannungsverlust bei Verteilung (k)*	ΔV (V/m/A)10 ⁻³ cosφ = 0,85	0,608	0,418	0,281	0,179	0,127	0,104	0,095	0,082
	ΔV (V/m/A)10 ⁻³ cosφ = 0,90	0,616	0,422	0,277	0,176	0,122	0,100	0,091	0,077
	ΔV (V/m/A)10 ⁻³ cosφ = 0,95	0,617	0,419	0,269	0,169	0,115	0,093	0,083	0,069
	ΔV (V/m/A)10 ⁻³ cosφ = 1,00	0,576	0,384	0,23	0,141	0,09	0,07	0,06	0,046
Leistungsverlust bei I_n	P (W/m)	51	83	79	78	78	97	134	160
Brandlast	(kWh/m)	1,3	1,3	1,3	1,8	1,8	1,8	1,8	1,8
Gewicht	ρ (kg/m)	7,4	7,7	8,4	10,7	12,3	13,8	14,7	15,9
Abmessungen	H x B (mm)	75 x 196	75 x 196	75 x 196	135 x 196				
Schutzgrad	IP***	55	55	55	55	55	55	55	55
Mechanische Beständigkeit des Gehäuses (Schlagfestigkeit)	IK	10	10	10	10	10	10	10	10

* Leistungsentnahme gleichmäßig über das gesamte System verteilt

** Werte bei 0,1 Sek.

Reduktionsfaktor für Umgebungstemperatur

Umgebungstemperatur °C	15	20	25	30	35	40	45	50	55	60
K1-Faktor	1,15	1,12	1,08	1,05	1,025	1	0,975	0,95	0,93	0,89

Faktor für die Berechnung des Bemessungsstromes bei anderen Umgebungstemperaturen als 40 °C.

Kurzschlussfestigkeit der Zucchini-Schienenverteiler:

Absicherung des MR-Schienenverteiler-Systems mit Legrand DPX Leitungsschaltern.

Das Schienenverteiler-System entspricht vollständig den folgenden Normen:

IEC/EN 61439-6

Das Produkt ist unter folgenden klimatischen Bedingungen einsetzbar:

- IEC 60068 2-11: Umweltprüfteil 2-11: Tests – Test Ka: Salznebel

- IEC 60068 2-30: Umweltprüfteil 2-30: Tests – Test Db:

Feuchte Wärme, zyklisch (12 h + 12 h Zyklus)

Alle isolierenden Kunststoffteile entsprechen der Norm IEC 60695-2

Glühdrahtprüfung und sind selbstlöschend V2 nach UL94.